

01;09

© 1994

О ДИФРАКЦИИ ЭЛЕКТРОМАГНИТНОЙ ВОЛНЫ НА ОДНОМЕРНО ПЕРИОДИЧЕСКОЙ РЕШЕТКЕ ИЗ МЕТАЛЛИЧЕСКИХ СПИРАЛЕЙ

B.A. Калошин, С.Ю. Сиянко

1. Имеется большое количество работ, где рассматривается дифракция на одномерно-периодических решетках из металлических стержней (см., например, [1]). В данной работе рассматривается задача о дифракции на решетке из металлических спиралей. Рассматриваются два случая: решетка из одинаковых спиралей (рис. 1) и решетка из спиралей с чередующимся знаком угла намотки (рис. 2). Начнем рассмотрение со второго случая. Предположим, что волна падает перпендикулярно к плоскости решетки в направлении оси Z . Нетрудно показать, что данная задача для случая E -поляризации (вектор E в падающей волне параллелен осям спиралей) эквивалентна задаче о рассеянии на спирали в волноводе с магнитными стенками, а для случая H -поляризации (вектор H в падающей волне параллелен осям спиралей) — задаче о рассеянии на спирали в волноводе с металлическими стенками (стенки волноводов на рис. 1 и 2 заштрихованы).

Будем полагать, что период решетки a много меньше длины волны λ и, кроме того, радиус спирали $r \ll a$. При этом для нахождения поля внутри волновода можно ограничиться учетом излучения электрических и магнитных токов, текущих вдоль оси спирали, а также электрических и магнитных диполей, равномерно распределенных вдоль оси спирали и направленных по оси X — аналогично тому, как это было сделано в [2] для металлического цилиндра в волноводе. Далее находим решение задачи возбуждения волноводных мод этими токами, подставляя их в правую часть волнового уравнения. В результате для поля вне спирали получаем представление в виде ряда Фурье по координате x . Находя коэффициенты разложения и пренебрегая всеми членами разложения по малым параметрам ka ($k = 2\pi/\lambda$) и кроме первых, получаем выражения для полей в виде рядов, которые можно свести к геометрической прогрессии. Суммируя, получаем представление для поля в виде $A + B\sin\theta$, где θ — полярный угол в плоскости ZX . В выражения A и B входят в виде множителей неизвестные коэффициенты, которые находим путем “сшивания” этих полей на поверхности

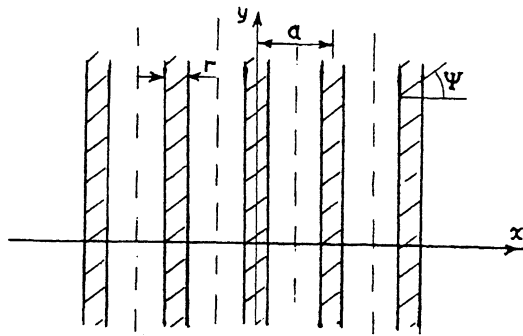


Рис. 1.

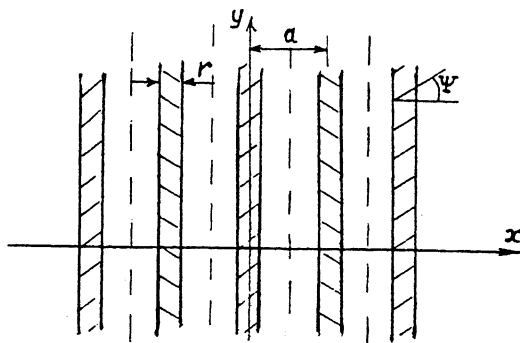


Рис. 2.

цилиндра, образованного спиралью, с решением волнового уравнения внутри спирали, которое представляем в аналогичном виде: $C + D \sin \theta$. Полагаем, что толщина провода много меньше диаметра спирали, в связи с чем при "сшивании" будем использовать граничные условия анизотропно проводящего цилиндра:

$$E_y^{(h)} + E_{\theta}^{(h)} \operatorname{ctg} \psi = 0, \quad E_y^{(h)} = E_y^{(b)},$$

$$E_y^{(b)} + E_{\theta}^{(b)} \operatorname{ctg} \psi = 0, \quad (H_y^{(h)} - H_y^{(b)}) + (H_{\theta}^{(h)} - H_{\theta}^{(b)}) \operatorname{ctg} \psi = 0, \quad (1)$$

где индекс "h" относится к полю вне спирали, индекс "b" — внутри, а ψ — угол намотки спирали. Для определенности полагаем, что положительные значения ψ соответствуют правосторонней намотке (рис. 1).

В результате решения полученных систем линейных уравнений для амплитуды электрического поля отраженной и прошедшей волны в дальней зоне для E -поляризации по-

лучаем

$$R_x = 0, R_y = -\frac{1}{A} + \frac{(kr)^2}{B - \operatorname{ctg}^2 \psi}, T_x = 0, T_y = 1 - \frac{1}{A} - \frac{(kr)^2}{B - \operatorname{ctg}^2 \psi}, \quad (2)$$

где $A = 1 + \frac{ika}{\pi} \left(\ln(\frac{a}{2\pi r}) + \frac{\operatorname{ctg}^2 \psi}{2} \right)$ и $B = 2 \operatorname{ctg}^2 \psi - \frac{ika}{\pi} \left(\left(\frac{\operatorname{ctg} \psi}{kr} \right)^2 - 1 \right)$.

В случае H -поляризации результаты будут следующими:

$$R_x = \left(-\frac{i\pi kr^2}{4Ca} - \frac{1}{D - (kr)^2} \right) \operatorname{ctg}^2 \psi,$$

$$R_y = 0, T_x = 1 + \left(\frac{i\pi kr^2}{4Ca} - \frac{1}{D - (kr)^2} \right) \operatorname{ctg}^2 \psi, T_y = 0,$$

где

$$C = \ln \frac{2a}{\pi r} + \frac{\operatorname{ctg}^2 \psi}{2} \text{ и } D = 2(kr)^2 - \frac{ika}{\pi} \left(\left(\frac{\operatorname{ctg} \psi}{kr} \right)^2 - 1 \right). \quad (3)$$

2. Перейдем к рассмотрению решетки из одинаковых спиралей. Будем искать решение вне спирали как сумму полей магнитных и электрических токов, направленных вдоль оси спирали, а также магнитных и электрических диполей, расположенных вдоль оси спирали и направленных по оси X . Нетрудно убедиться, что в этом случае для обеих поляризаций задача эквивалентна задаче о рассеянии на спирали в волноводе с граничными условиями на стенах: $H_\tau = 0$ при $x = 0$ и $x = a$ для полей магнитных диполей и электрических токов, текущих вдоль оси спирали; $E_\tau = 0$ при $x = 0$ и $x = a$ для полей электрических диполей и магнитных токов, текущих вдоль оси спирали, где H_τ и E_τ — тангенциальные составляющие магнитного и электрического полей (даные граничные условия соответствуют параллельному переносу картины поля вдоль оси X на один волновод). Далее используя ту же методику, что и в задаче о рассеянии на решетке с переменным знаком угла намотки, получаем в случае E -поляризации

$$R_x = ikr \left(\frac{1}{2A} + \frac{1}{D} \right) \operatorname{ctg} \psi, \quad R_y = -\frac{1}{A} + \frac{(kr)^2}{B},$$

$$T_x = ikr \left(\frac{-1}{2A} + \frac{1}{D} \right) \operatorname{ctg} \psi, \quad T_y = 1 - \frac{1}{A} - \frac{(kr)^2}{B}. \quad (4)$$

В случае H -поляризации

$$R_x = \left(\frac{(kr)^2}{4A} - \frac{1}{D} \right) \operatorname{ctg}^2 \psi, \quad T_x = 1 - \left(\frac{(kr)^2}{4A} + \frac{1}{D} \right) \operatorname{ctg}^2 \psi,$$
$$R_y = ikr \left(\frac{1}{2A} + \frac{1}{B} \right) \operatorname{ctg} \psi, \quad T_y = ikr \left(\frac{1}{A} - \frac{1}{B} \right) \operatorname{ctg} \psi. \quad (5)$$

3. Анализ полученных результатов показывает, что электродинамические свойства решеток из спиралей плавно меняются при изменении угла намотки от $\psi = 0$ (решетка из металлических колец) до $\psi = \pi/2$ (решетка из металлических стержней), исключая углы, близкие к $\psi = \pm \operatorname{arcctg}(kr)$. При этом через решетку из спиралей с чередующимся знаком угла намотки, в отличие от решетки из стержней, полностью проходит E -поляризованный волна, а H -поляризованный — полностью отражается. При тех же значениях угла ψ в решетке из одинаковых спиралей волна с круговой поляризацией и тем же направлением вращения, что у спирали, полностью проходит через решетку, а с противоположным — полностью отражается в виде волны с тем же направлением вращения поляризации, что и падающая. При падении линейной поляризации на эту решетку, в отличие от решетки из стержней и из спиралей с чередующимся знаком угла намотки, деполяризация происходит при любой ориентации поляризации падающего поля.

В заключение авторы считают своим долгом поблагодарить Б.З. Каценеленбаума, Л.И. Пангониса, А.Н. Сивова и А.Д. Шатрова за полезные обсуждения.

Список литературы

- [1] Нefедов Е.И., Сивов А.Н. Электродинамика периодических структур. М., 1977. 209 с.
- [2] Левин Л. Современная теория волноводов. М., 1954. 216 с.

Институт радиотехники
и электроники
Москва

Поступило в Редакцию
11 августа 1994 г.